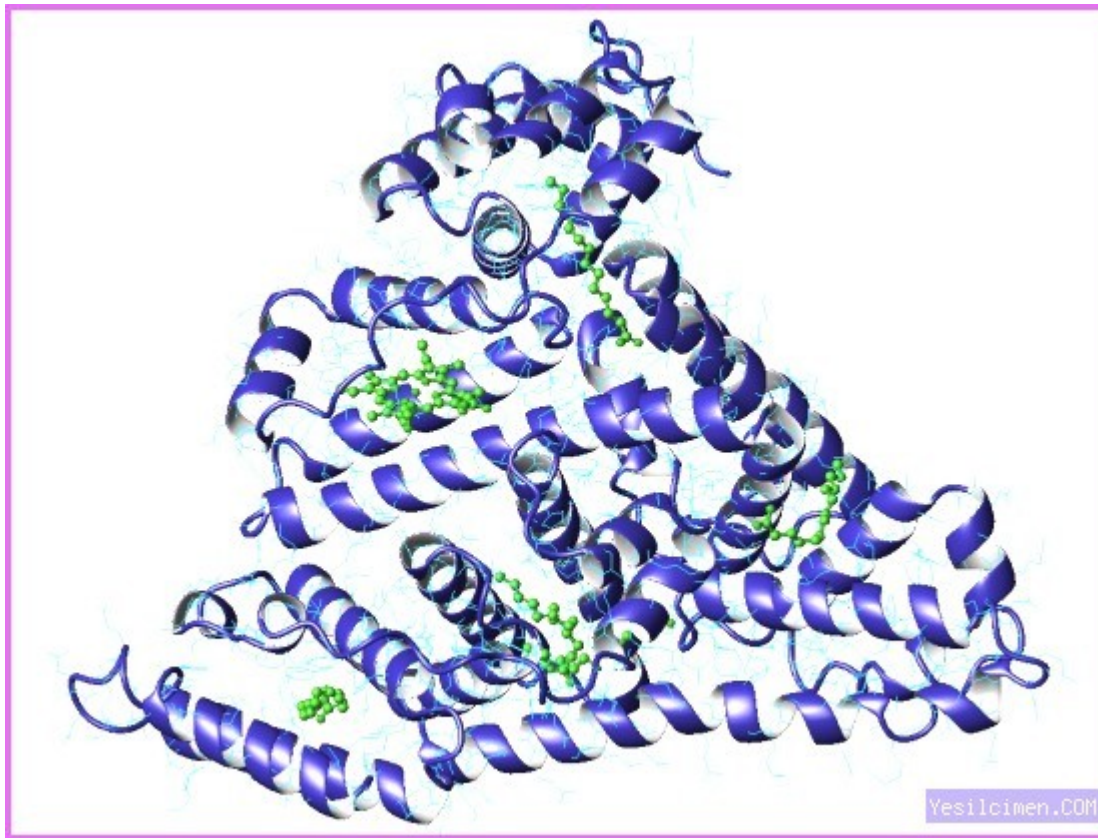
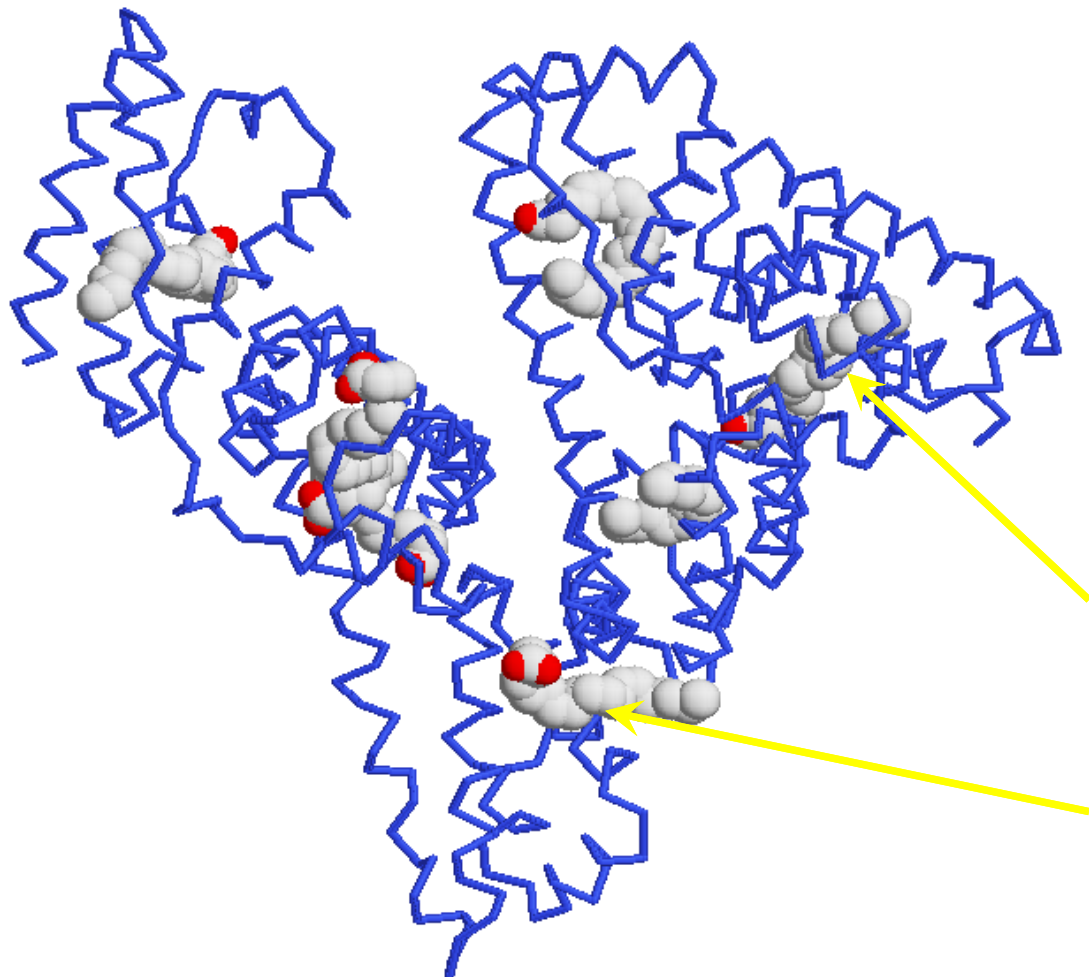


ЭПР-спектроскопическое определения изменений транспортных свойств альбумина

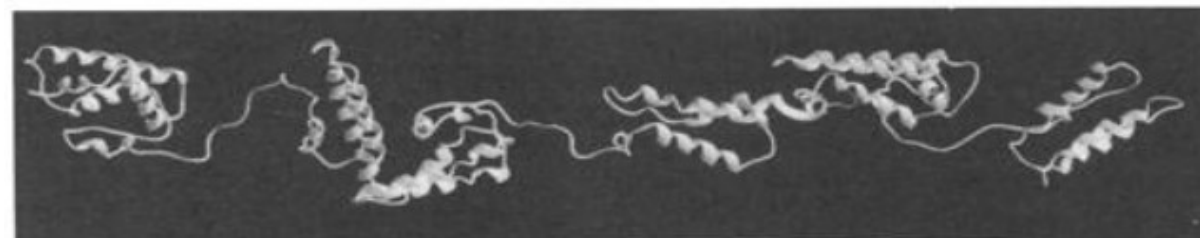
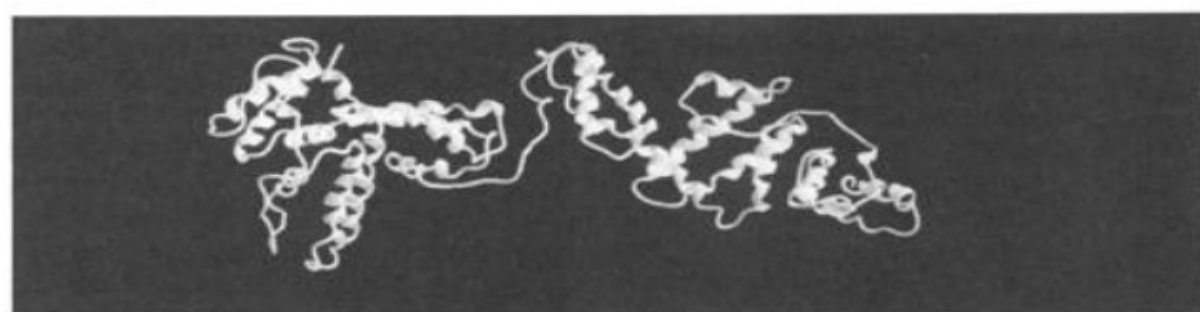
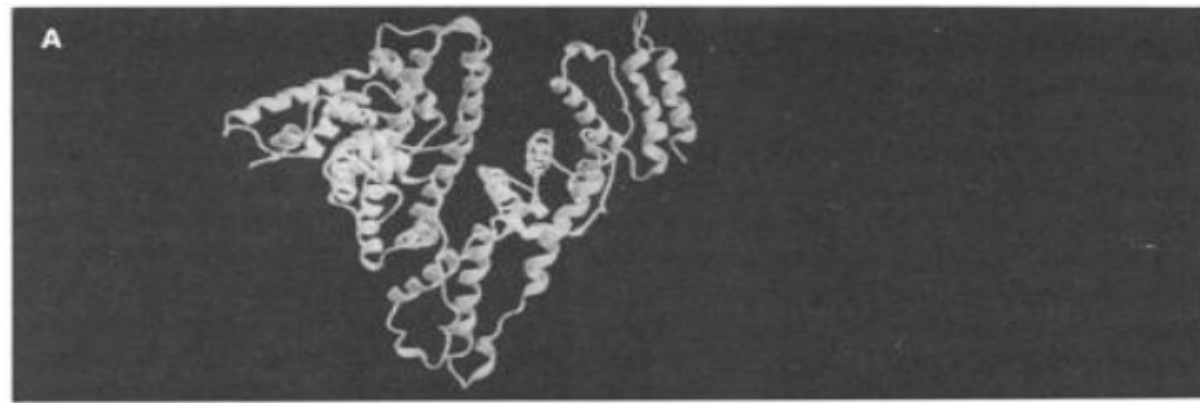


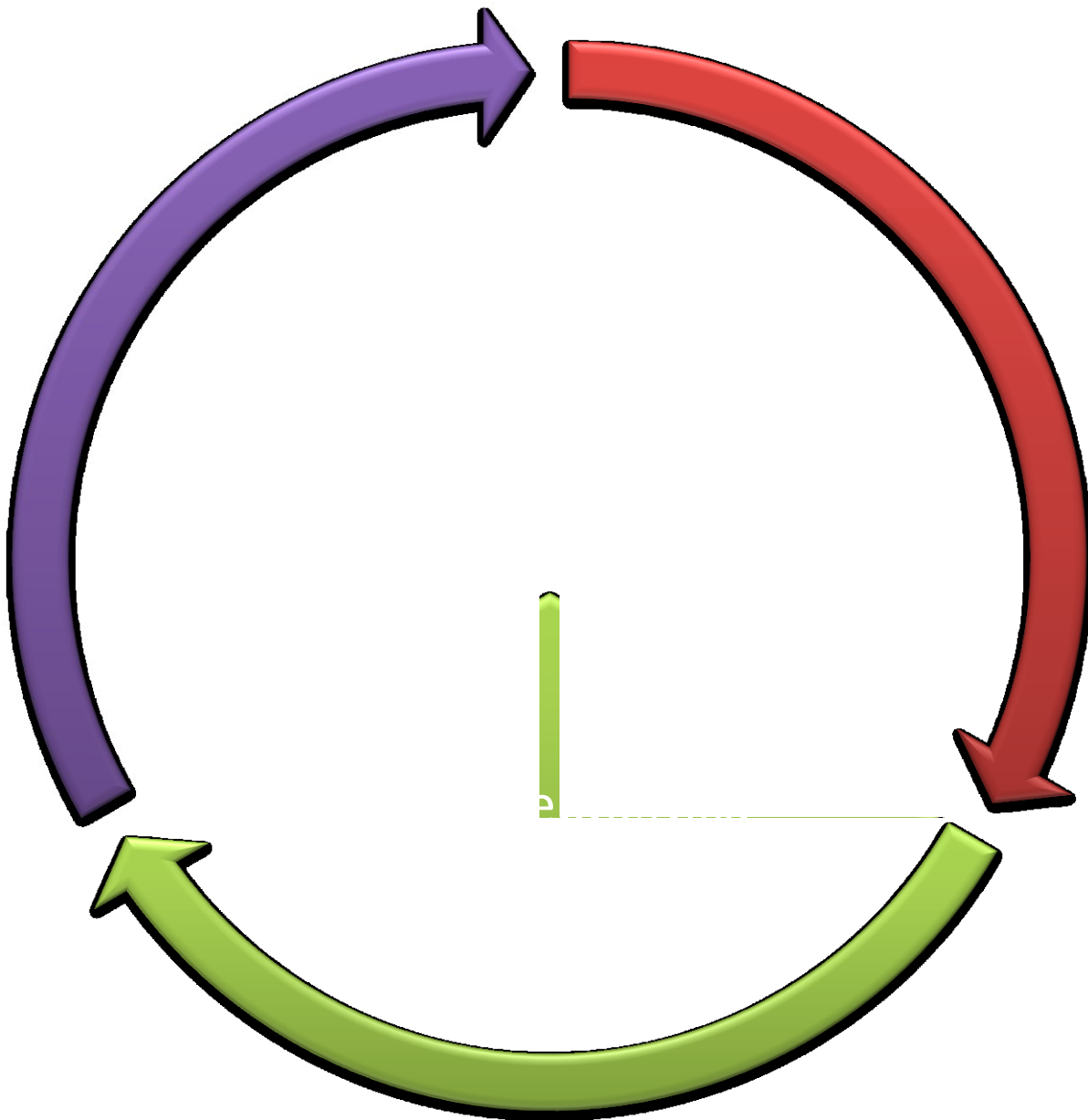
Структура и функции альбумина



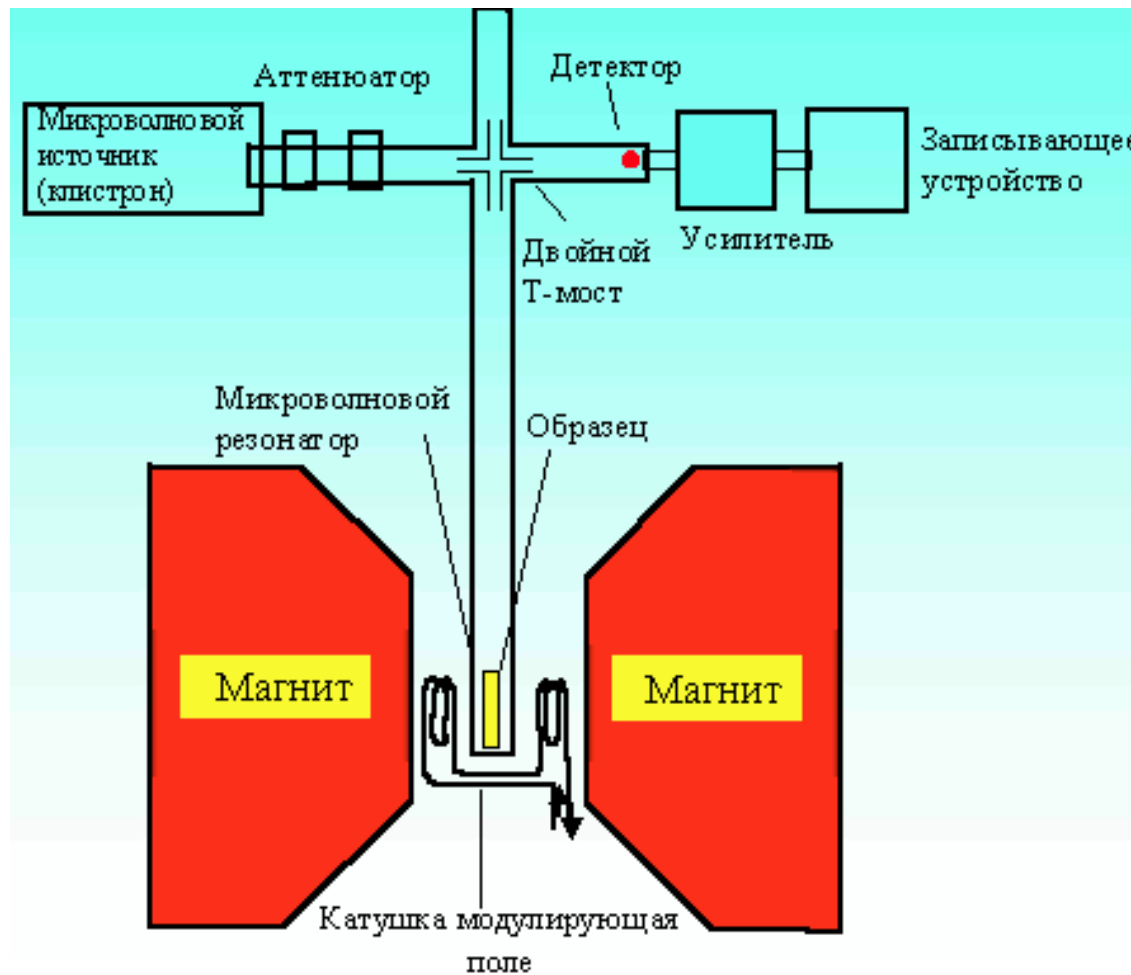
Сайты связывания лигандов –
жирных кислот, триптофана,
билирубина, стероидных
гормонов, токсинов,
металлов, медикаментов

Функциональная
активность
альбумина
способностью его
молекулы менять
конформацию при
связывании с
метаболитами





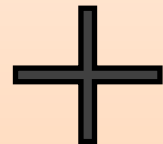
Принцип метода



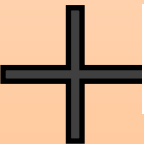
Электронный парамагнитный резонанс - резонансное поглощение электромагнитной энергии в сантиметровом или миллиметровом диапазоне длин волн веществами, содержащими парамагнитные частицы

Принцип метода

Спиновая метка



Спиновая метка



Магнитное поле

Резонанс спиновой
метки

Различные
ЭПР
спектры

Принцип метода

Спин-меченая жирная кислота (16-доксил-стеариновая кислота) в трех различных концентрациях полярного растворителя – этанола



Спиновая метка соединяется с альбумином в специфических центрах связывания и между доменами внутри глобулы



3 конформационные модификации альбумина

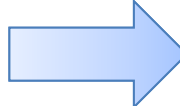


3 ЭПР-спектра



Аппроксимация спектров

- Связывающая эффективность (BE)
- Транспортная эффективность (RTQ)
- Детоксикационная эффективность (DTE)
- Показатель нативности конформации альбумина (DR)



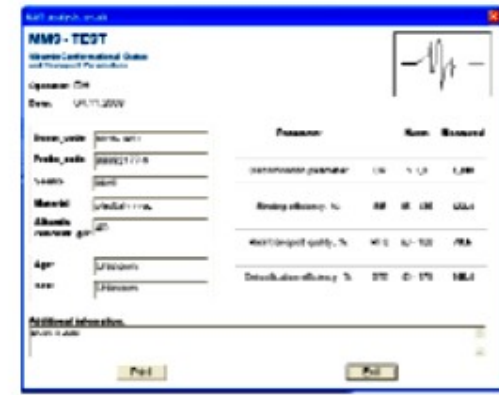
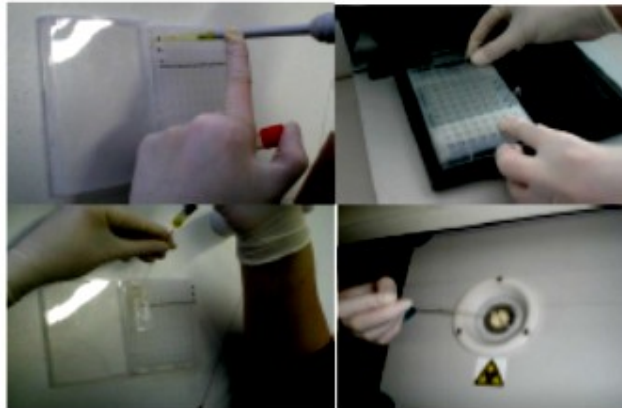
Референтные интервалы

- 2000-2004 гг. – обследовалась группа здоровых доноров-добровольцев (321 человек), в возрасте от 9-и до 78-и лет.
- 2005-2007 гг. – обследовалась группа здоровых доноров-добровольцев (83 человека), в возрасте от 17-и до 78-и лет.

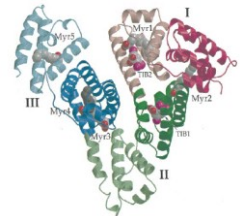
Показатель	Референтный интервал
DR	1,2 – 5
ВЕ	65 – 135 %
RTQ	60 – 100 %
DTE	50 – 175 %

Методика

Анализатор + тестовый набор и методика + программное обеспечение



- Сыворотка или ЭДТА-плазма, 0,2 мл
- Забор крови обычной венопункцией (3-5 мл)
- Центрифугирование при комнатной температуре при 1000-1500 g в течение 10 минут
- Супернатант переносится в отдельную пробирку
- Хранение образцов при t 4-8 C (не более 4 дней) или -30 C (6 месяцев)
- Сыворотка/плазма может быть заморожена только один раз



Области применения метода

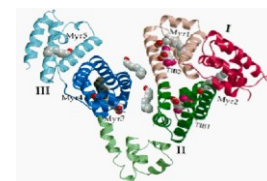
Раннее определение нарушений транспортной системы крови при интоксикации (например, сепсис - SIRS) в отделениях интенсивной терапии;

Мониторинг нарушений транспортной системы крови при интоксикации в отделениях интенсивной терапии;

Профилактическое обследование широкого круга лиц, относящихся к группе с повышенным риском возникновения онкологического заболевания, в целях **ранней диагностики активных злокачественных образований** всевозможных видов и локализаций;

Мониторинг физиологических и патологических изменений в организме человека в процессе лечения онкологического заболевания с целью **корректировки проводимой терапии онкологического заболевания**, а также с целью **предотвращения рецидивов**;

В перспективе - **оценка качества транспортных свойств коммерческих растворов альбумина**



Состояния, снижающие точность измерения

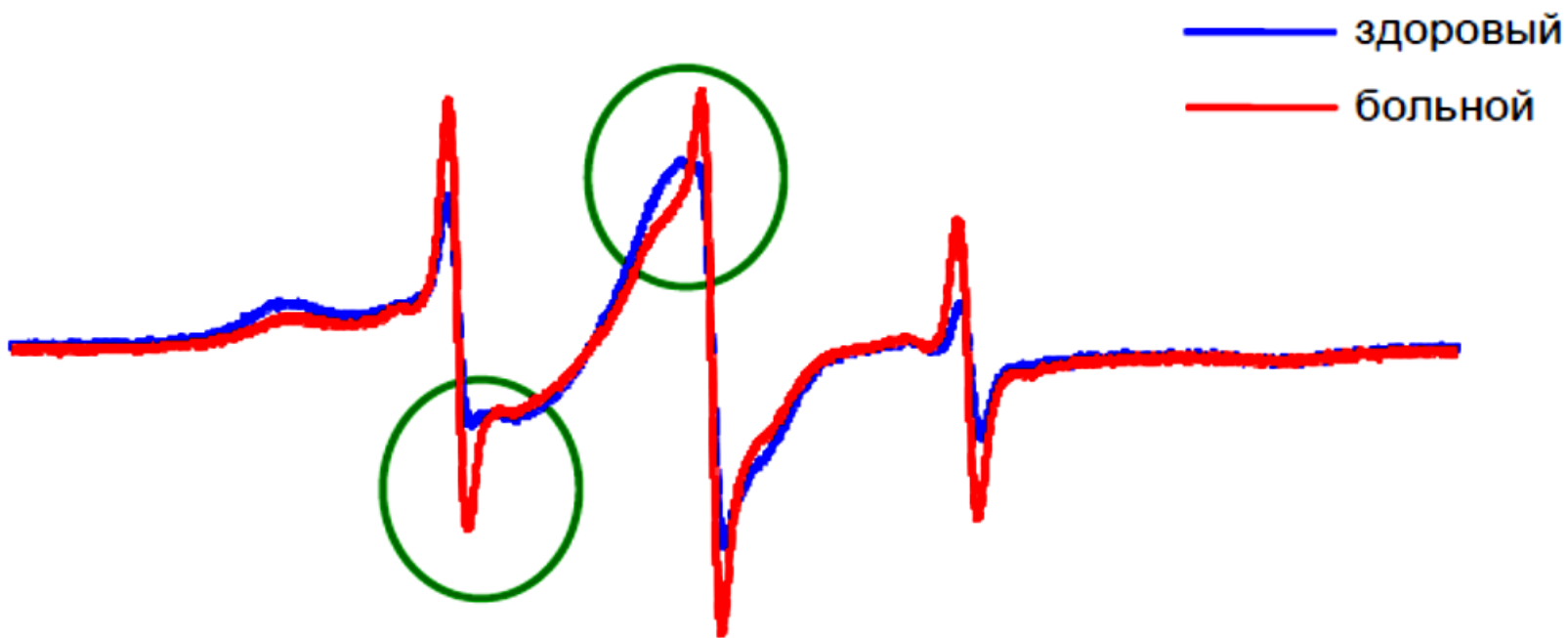
Ложноположительные результаты

- печёночная недостаточность;
- острое вирусное, либо воспалительное заболевание;
- ожоги тела высокой степени;
- тяжелая травма при высокой потере крови;
- тяжелая медикаментозная интоксикация;
- послеоперационный (до 14 суток) период;
- нахождение под воздействием алкоголя и наркотических средств;
- пониженное содержание в крови альбумина – гипоальбуминемия ($< 35 \text{ г/л}$);
- период беременности

Ложноотрицательные результаты

- повышенное содержание в анализируемой сыворотке триглицеридов и липопротеинов по сравнению с нормальными значениями (осуществляется автоматический контроль во время измерения);
- повышенное содержание в крови альбумина – гиперальбуминемия ($> 55 \text{ г/л}$).

Ранняя диагностика активного злокачественного роста



Интерпретация результатов

DR	BE	RTQ	DTE	
Показатель нативности конформации альбумина	Связывающая способность альбумина	Транспортная эффективность альбумина	Детоксификационная эффективность альбумина	Интерпретация результатов анализа
+	+	+	+	активного роста злокачественного образования не установлено
+	+	+	-	активного роста злокачественного образования не установлено (при наличии одного или нескольких противопоказаний к использованию метода)
+	+	-	+	-/- (см. предыдущее)
+	+	-	-	-/-
+	-	+	+	-/-
+	-	+	-	-/-
+	-	-	+	-/-
+	-	-	-	-/-
-	+	+	+	наличие активного роста злокачественного образования
-	+	+	-	наличие активного роста злокачественного образования (при наличии одного или нескольких противопоказаний к использованию метода). Для подтверждения результата рекомендовано контрольное измерение в течении месяца при желательном исключении противопоказаний к использованию метода
-	+	-	+	-/- (см. предыдущее)
-	+	-	-	-/-
-	-	+	+	-/-
-	-	+	-	-/-
-	-	-	+	-/-
-	-	-	-	-/-

Пример интерпретации результатов

0,8<DR<1,2



BE, RTQ и
DTE в реф.
пределах



Повышенный
риск
возникнове-
ния злокачес-
твенного
образования

0,8<DR<1,2



BE, RTQ и
DTE -
отклонения



Устранение
причин
нарушения
функциональ-
ности альбуми-
на, повторное
обследование

Клинические исследования

				Чувствительность	Специфичность	Примечание
1)	2002	MedInnovation, Берлин	575	349 здоровые 135 онкологические 91 хроники	87% 94% 86%	Раковые - здоровые Раковые - здоровые + хронические заболевания Раковые – хронические заболевания
2)	2003	Dr. Schulz / Клиника Бад-Саарова	11	Мониторинг терапии	результаты совпадают с иммунологическими тестами и клиническим статусом	хроническая лимфоцитарная лейкемия В клеток B-CLL
3)	2003	Prof. Koch / Окружная клиника Беескова	24	Мониторинг терапии	параметры MMS коррелируют с успехом/неудачей в терапии опухоли	Желудочно-кишечный рак
4)	2004	Dr. Reszka / Max-Delbrück-Center, Берлин	24	10 здоровые 14 онкологические	100%	100% Опухоли головного мозга
5)	2005	Prof. Hofmeister, Dr.Kramer / Charité, Берлин	27	14 здоровые 13 онкологические	75%	93% Рак головы и шеи
6)	2005	Prof. Wagner, Dr. Moergel / Универститет Майнца	20	10 здоровые 10 онкологические	87%	83% Рак головы и шеи
7)	2005	Prof. Davidov, Prof. Zubrikhina / Москва	167	70 здоровые 97 онкологические	78%	86% желудок, панкреатит, почка, пищевод, прямая кишка и другие

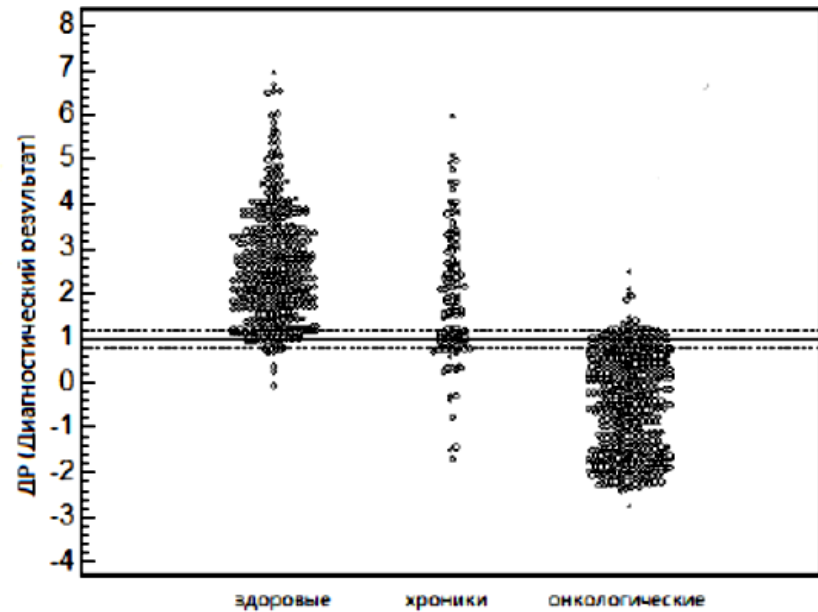
Клинические исследования

				Чувствительность	Специфичность	Примечание
8)	2005-2006	Dr. Mann, Dr. Gelos / Augusta Krankenanstalten, Bochum	108	35 28 45	дивертикулит аденома рак прямой кишки	Корректно идентифицированный рак прямой кишки: ЭПР тест = 91% / CEA = 46% / CA19-9 = 28% Корректно идентифицированный рак аденомы: ЭПР тест = 86% / CEA = 83% / CA19-9 = 96% Корректно идентифицированный дивертикулит: ЭПР тест = 91% / CEA = 92% / CA19-9 = 100%
9)	2006-2008	Dr. Pilarsky, Dr.Grützmann / Технический университет Дрезден	134	63 20 51	поджелудочная железа прочее доброкачественные / воспалительные заболевания	Корректно идентифицированный рак поджелудочной железы: 94% неизвестный промежуток времени между терапией / хирургическим вмешательством и отбором крови
10)	2008-2010	Доктор Трофименко, Доктор Маландин / ФМБЦ, Москва	222	115 107	раковые контрольная группа	90% 100% грудь, простата, почки, мочевой пузырь, легкие, желудочно-кишечные, гинекологические и др.
11)	2010-2011	Доктор Кайдарова / Алматинский онкологический центр	150	75 75	раковые контрольная группа	90,6% 85,3% Широкий спектр локализаций разных стадий
12)	2011-2012	Доктор Меркулов/ Онкологический центр 83 клиники / Москва	27	16 11	раковые контрольная группа	94% 88% Молочная железа, кишечник, простата

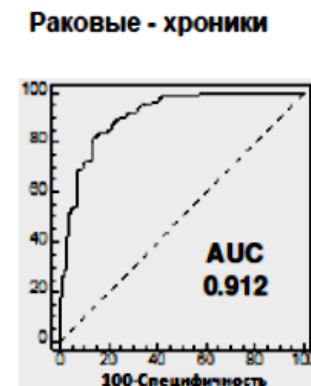
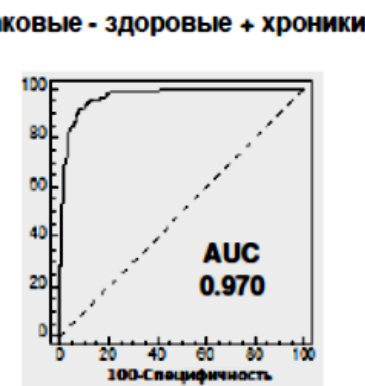
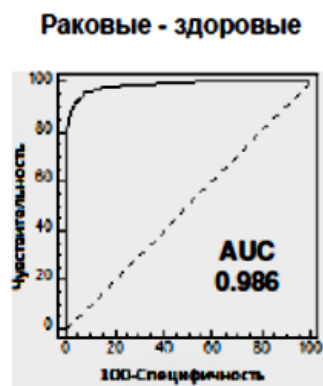
Клинические исследования

				Чувствительность	Специфичность	Примечание
13)	2011-2012	Проект разработки теста ранней диагностики рака кишечника совместно с клиникой St.Elizabeth-Krankenhaus, Берлин	650	250 рак кишечника 100 доброкачественные заболевания 100 иные локализации	контрольная группа 90% 80% 90%	Раковые - здоровые Раковые – здоровые и доброкачественные опухоли Раковые – доброкачественные опухоли Раковые – здоровые и доброкачественные опухоли, а также злокачественные опухоли иной локализации
14)	2010-	Dr. Hakån Olsson et al / Лунд, Университетская клиника Лунда, Швеция	400	200 рак простаты	контрольная группа	Цель: Возможно ли улучшить диагностические показатели неинвазивного метода измерения PSA путем комбинирования с MMS тестом? Результат: Комбинация PSA и MMS теста имеет улучшенные диагностические показатели
15)	2011-	Prof. N. Becker et al / DKFZ Deutsches Krebsforschungszentrum, Heidelberg, Германия	516	516	Ретроспективное исследование	Цель: возможна ли комбинация MMS теста с low-dose multislice-CT (MSCT) для целей ранней диагностики рака легкого

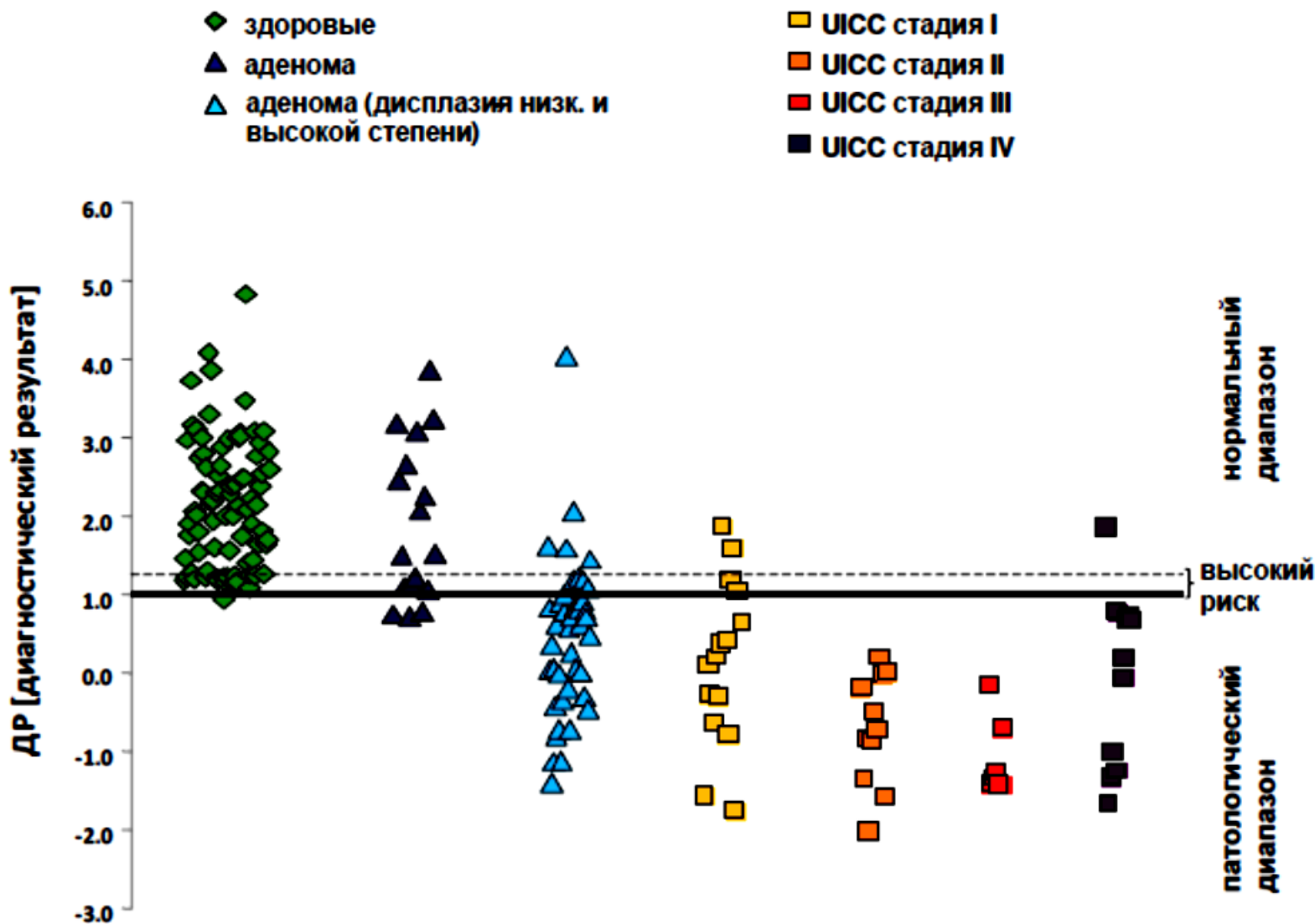
Онкология, хронические заболевания, здоровые



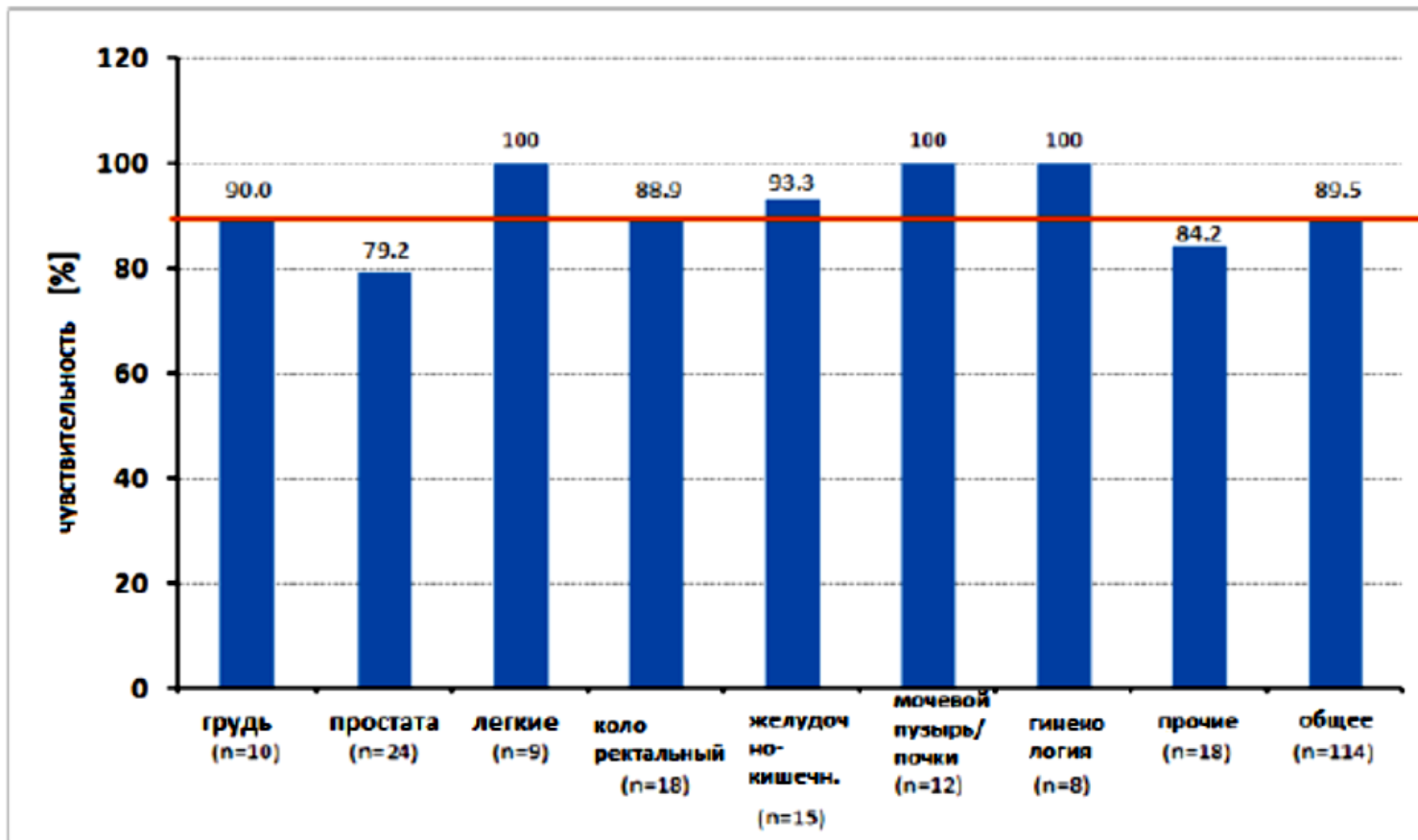
428 здоровых людей
479 онкологических больных
114 пациентов с
хроническими
заболеваниями различной
природы



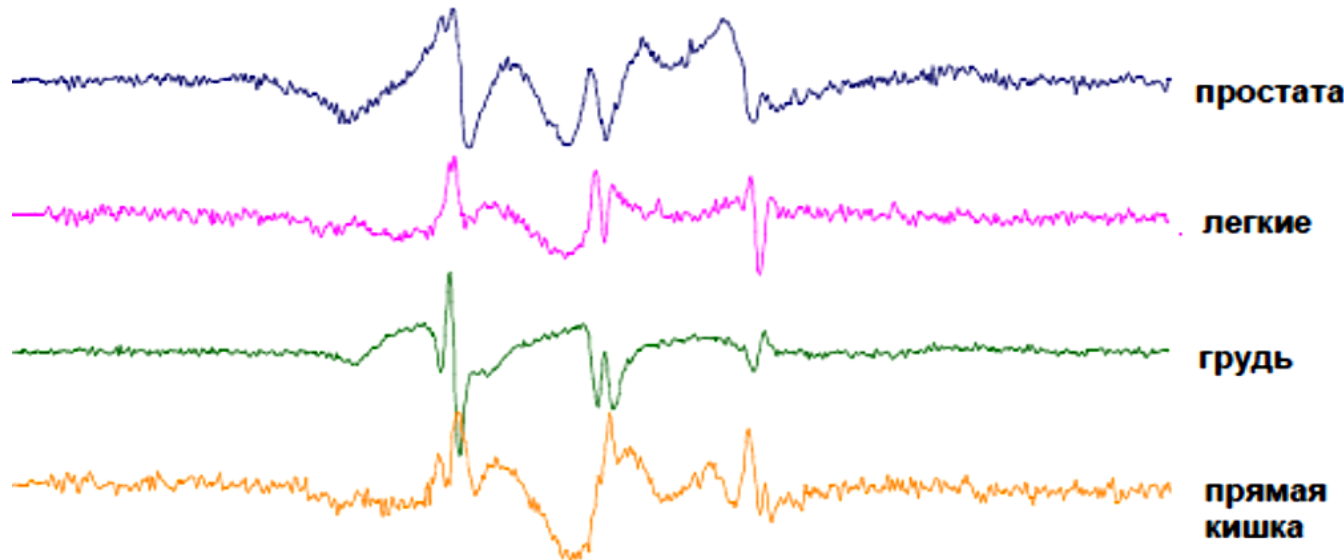
Рак толстого кишечника, аденома, здоровые



Чувствительность метода при опухолях различной локализации



Вид ЭПР-спектра и локализация опухоли



Другие заболевания

Атеросклероз?

По мере развития атеросклеротического процесса повышается содержание модифицированного фибриногена, из которого в местах повреждения сосудистой стенки образуется нелизируемый фибрин



Модифицированный фибриноген:
комплекс из фибриногена
+
метаболиты воспалительного процесса
+
микроэлементы
+
АЛЬБУМИН

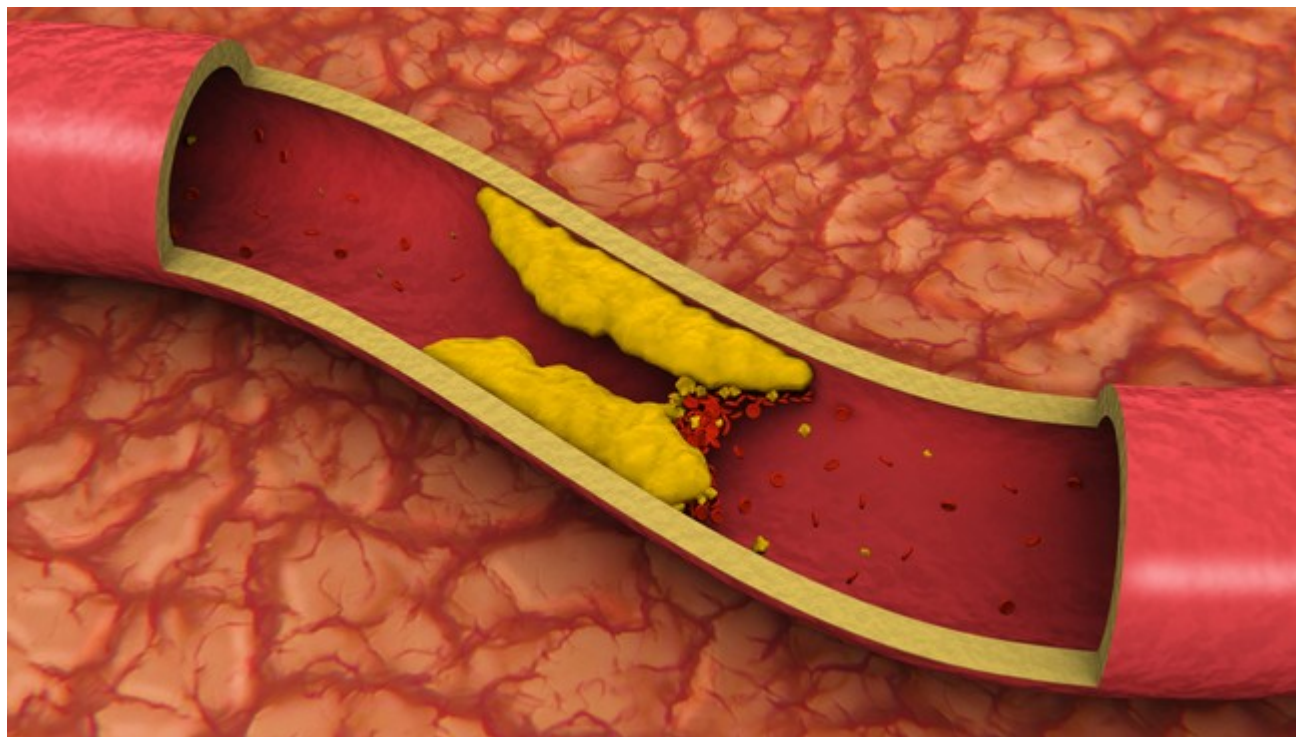
Изменение ЭПР-спектра

Перспективы....

Измерить атеросклероз?

Количественное определение:

- степень атеросклеротического процесса
- в динамике - скорость развития атеросклеротического процесса





САСИБО ЗА ВКЛ